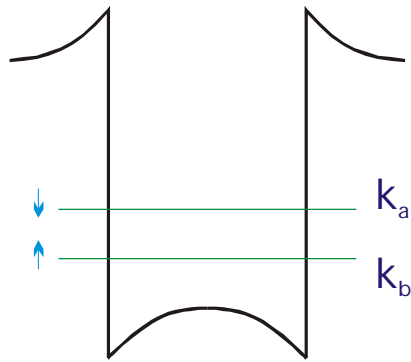
A decorative graphic consisting of a thin yellow circle on the left side. A thick black bracket is positioned on the left, and a thick yellow bracket is on the right, both framing a horizontal bar. The bar has a gradient from dark olive green on the left to light yellow on the right. The title text is centered within this bar.

# Многокомпонентный квантовый эффект Холла I.

1. Псевдоспин.
2. Многокомпонентные волновые функции.
3. Метод наклонных магнитных полей.
4. Скирмионы.

# Двухкомпонентные системы

Спиновое и долинное



Спин

$$\Psi(r) = s_z f(z) \exp[i(k_x x + k_y y)]$$

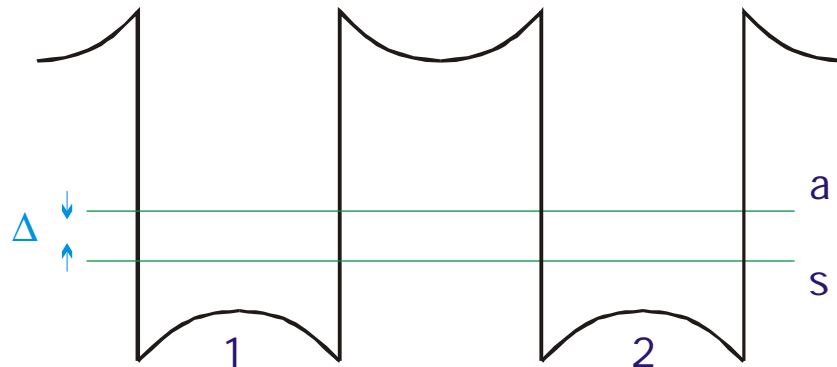
Долина

$$\Psi(r) = s_z f_{a,b}(z) \exp[ik_{a,b} z] \exp[i(k_x x + k_y y)]$$

Дублет

$$\Psi(r) = s_z f_{1,2}(z) \exp[i(k_x x + k_y y)]$$

симметрично-асимметричное расщепления



Псевдоспин

$$\Psi(r) = \tilde{s}_i(z) \exp[i(k_x x + k_y y)]$$

Условие двухкомпонентного квантового эффекта Холла

$$\Delta \leq \frac{e^2}{\mathbf{I}_c}$$

# Двухкомпонентная волновая функция

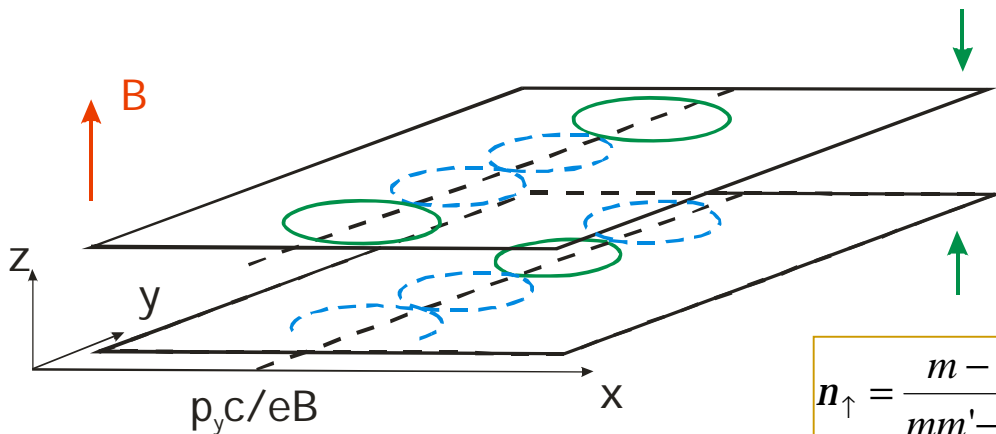
Функция Лафлина  $\psi_m(Z_1, Z_2, \dots, Z_N) = \prod_{i < j}^N (Z_i - Z_j)^m \exp\left(-\frac{1}{2} \sum_k^N |Z_k|^2\right)$   $Z = (x + iy)/l$   $l = \sqrt{\hbar c / eB}$

По аналогии с функцией Лафлина, Гальперин предложил двухкомпонентную волновую функцию в виде:

$$\Psi[Z; \chi] = A[\Phi[Z] \alpha_1 \dots \alpha_{N_1} \beta_{[1]} \dots \beta_{[N_1]}]$$

где  $A$  – антисимметризирующий оператор,  $\alpha_k, \beta_k$  –  $\uparrow$  и  $\downarrow$  спиноры,  $[i] = N_\uparrow + i$ . При этом координатная часть волновой функции имеет вид:

$$\Phi_{m, m', n}[Z] = \prod_{i < j \leq N_1} (Z_i - Z_j)^m \prod_{k < l \leq N_1} (Z_{[k]} - Z_{[l]})^{m'} \prod_{a=1}^{N_1} \prod_{b=1}^{N_1} (Z_a - Z_{[b]})^n \prod_{s=1}^N \exp\left(-\frac{|Z_s|^2}{4}\right)$$



Подобно функции Лафлина, данная функция приводит к несжимаемому состоянию в следующей ситуации:

$$\left. \begin{aligned} \Phi = BS = mN_\uparrow \Phi_0 + nN_\downarrow \Phi_0 \\ \Phi = BS = m'N_\downarrow \Phi_0 + nN_\uparrow \Phi_0 \end{aligned} \right\} \Rightarrow \begin{cases} 1 = mn_\uparrow + nn_\downarrow \\ 1 = m'n_\downarrow + nn_\uparrow \end{cases}$$

$$n_\uparrow = \frac{m-n}{mm'-n^2}$$

$$n_\downarrow = \frac{m'-n}{mm'-n^2}$$

$$n = n_\uparrow + n_\downarrow = \frac{m+m'-2n}{mm'-n^2}$$

# Факторы заполнения и поляризация

TABLE 5.1. Generalized Laughlin States for Two-Component Systems<sup>a</sup>

$m$	$m'$	$n$	$\nu_1$	$\nu_2$	$\nu$	$S$
1	1	0	1	1	2	0
1	1	1	(1/2)	(1/2)	1	$N/2$
1	3	0	1	1/3	4/3	$N/4$
1	5	0	1	1/5	6/5	$N/3$
3	3	0	1/3	1/3	2/3	*
3	3	1	1/4	1/4	1/2	*
3	3	2	1/5	1/5	2/5	0
3	3	3	(1/6)	(1/6)	1/3	$N/2$
3	5	0	1/3	1/5	8/15	*
3	5	1	2/7	1/7	3/7	*
3	5	2	3/11	1/11	4/11	$N/4$
5	5	0	1/5	1/5	2/5	*
5	5	1	1/6	1/6	1/3	*
5	5	2	1/7	1/7	2/7	*
5	5	3	1/8	1/8	1/4	*
5	5	4	1/9	1/9	2/9	0
5	5	5	(1/10)	(1/10)	1/5	$N/2$

Source: After Ref. [22].

<sup>a</sup> $S$  is the total spin quantum and \* denotes a state that is not an eigenstate of  $S_z^2$ . The nominal filling factors  $\nu_1$  and  $\nu_2$  are shown in parentheses for the ferromagnetic  $\{m, m, m\}$  states because these are not unique (only their sum  $\nu$  is fixed).

$$2S_z = N_\uparrow - N_\downarrow \Rightarrow S_z = \frac{N}{n} (n_\uparrow - n_\downarrow)$$

# Анизотропия массы

$$[T - e\phi(z) - E]\psi = 0$$

$$T = \frac{1}{2} \sum_{i,j} w_{ij} p_i p_j \quad p_j = -i\hbar(\partial/\partial x_j)$$

$$\psi(x, y, z) = \xi(z) \exp(ik_1 x + ik_2 y)$$

$$\left. \begin{aligned} -\frac{1}{2} w_{33} \hbar^2 (d^2 \xi / dz^2) - \hbar^2 (w_{13} k_1 + w_{23} k_2) (d\xi / dz) \\ - [e\phi(z) + E'] \xi(z) = 0 \end{aligned} \right| E = E' + \frac{1}{2} \hbar^2 (w_{11} k_1^2 + 2w_{12} k_1 k_2 + w_{22} k_2^2)$$

$$\xi(z) = \zeta(z) \exp[-iz(w_{13} k_1 + w_{23} k_2) / w_{33}]$$

$$d^2 \zeta_i / dz^2 + (2m_3 / \hbar^2) [E_i'' + e\phi(z)] \zeta_i(z) = 0 \quad m_3 = w_{33}^{-1}$$

$$E_i(k_1, k_2) = E_i'' + \frac{1}{2} \hbar^2 \left[ \left( w_{11} - \frac{w_{13}^2}{w_{33}} \right) k_1^2 + 2 \left( w_{12} - \frac{w_{13} w_{23}}{w_{33}} \right) k_1 k_2 + \left( w_{22} - \frac{w_{23}^2}{w_{33}} \right) k_2^2 \right]$$

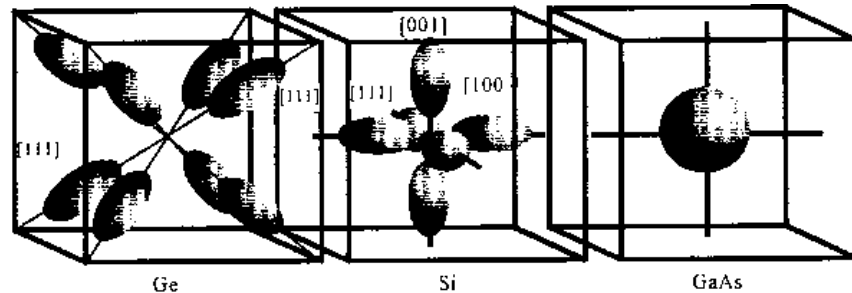


Рис. 4.13. Форма и расположение изоэнергетических поверхностей в Ge, Si, GaAs [16]

# Плотность состояний и циклотронная масса

$$dG = \frac{2g_n dp_x dp_y}{(2\pi\hbar)^2} = \frac{2g_n dS_p}{(2\pi\hbar)^2} = \frac{2g_n}{(2\pi\hbar)^2} \frac{dS_p}{dE} dE \Rightarrow g(E) = \frac{2g_n}{(2\pi\hbar)^2} \frac{dS_p}{dE}$$

В физике металлов доказывается, что циклотронная масса  $m_c = \frac{1}{2\pi} \frac{dS_p}{dE}$

В случае поверхности Ферми в форме эллипса имеем  $m_c = \sqrt{m_x m_y}$

$E = \frac{p_x^2}{2m_x} + \frac{p_y^2}{2m_y}$  Для того, чтобы получить данное выражение достаточно совершить поворот системы координат в плоскости  $xy$  на  $\alpha$

$$\operatorname{tg}(2\alpha) = \frac{2(w_{zz}w_{xy} - w_{xz}w_{yz})}{w_{xx}w_{zz} - w_{yy}w_{zz} - w_{xz}^2 + w_{yz}^2}$$

$$\frac{1}{m_x} = \left( w_{xx} - \frac{w_{xz}^2}{w_{zz}} \right) \cos^2(\alpha) + \left( w_{yy} - \frac{w_{yz}^2}{w_{zz}} \right) \sin^2(\alpha) + 2 \left( w_{xy} - \frac{w_{xz}w_{yz}}{w_{zz}} \right) \sin(2\alpha)$$

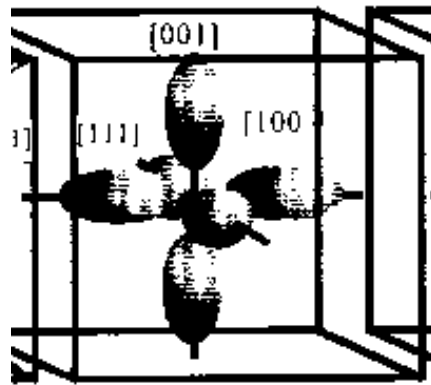
$$\frac{1}{m_y} = \left( w_{yy} - \frac{w_{yz}^2}{w_{zz}} \right) \cos^2(\alpha) + \left( w_{xx} - \frac{w_{xz}^2}{w_{zz}} \right) \sin^2(\alpha) - 2 \left( w_{xy} - \frac{w_{xz}w_{yz}}{w_{zz}} \right) \sin(2\alpha)$$

# Масса при разных ориентациях

TABLE I. Effective masses for three surface orientations, for semiconductors having band structures like those of the conduction band of Si (six {100} ellipsoids of revolution) or of Ge (four {111} ellipsoids of revolution). The principal effective masses in the ellipsoids are  $m_x$ ,  $m_y$ , and  $m_z$ . The derived values are  $m_n$ , the effective mass perpendicular to the surface, and  $m_1$  and  $m_2$ , the principal masses of the constant-energy ellipse in the surface, defined by Eq. (13). The degeneracy of each set of ellipses is  $n_v$ .

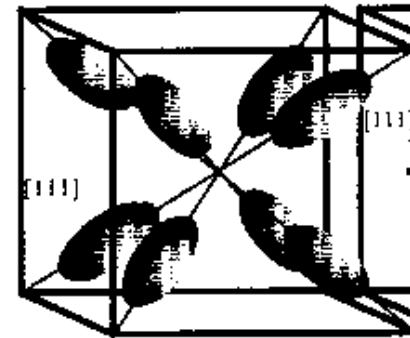
Surface orientation	Si				Ge			
	$m_1$	$m_2$	$m_3$	$n_v$	$m_1$	$m_2$	$m_3$	$n_v$
{100}	$m_x$ $m_x$	$m_y$ $m_z$	$m_z$ $m_x$	2 4	$m_x$	$(m_x+2m_z)/3$	$(3m_x m_z)/(m_x+2m_z)$	4
{110}	$m_x$ $m_x$	$(m_x+m_z)/2$ $m_z$	$(2m_x m_z)/(m_x+m_z)$ $m_x$	4 2	$m_x$ $m_x$	$(m_x+2m_z)/3$ $m_z$	$(3m_x m_z)/(m_x+2m_z)$ $m_x$	2 2
{111}	$m_x$	$(m_x+2m_z)/3$	$(3m_x m_z)/(m_x+2m_z)$	6	$m_x$ $m_x$	$\frac{m_x}{(m_x+8m_z)/9}$	$\frac{m_z}{(9m_x m_z)/(m_x+8m_z)}$	1 3

$$m_l = 0.916m_0 \quad m_t = 0.19m_0$$



Si

$$m_l = 1.58m_0 \quad m_t = 0.082m_0$$



Ge

# Спектр при разных ориентациях

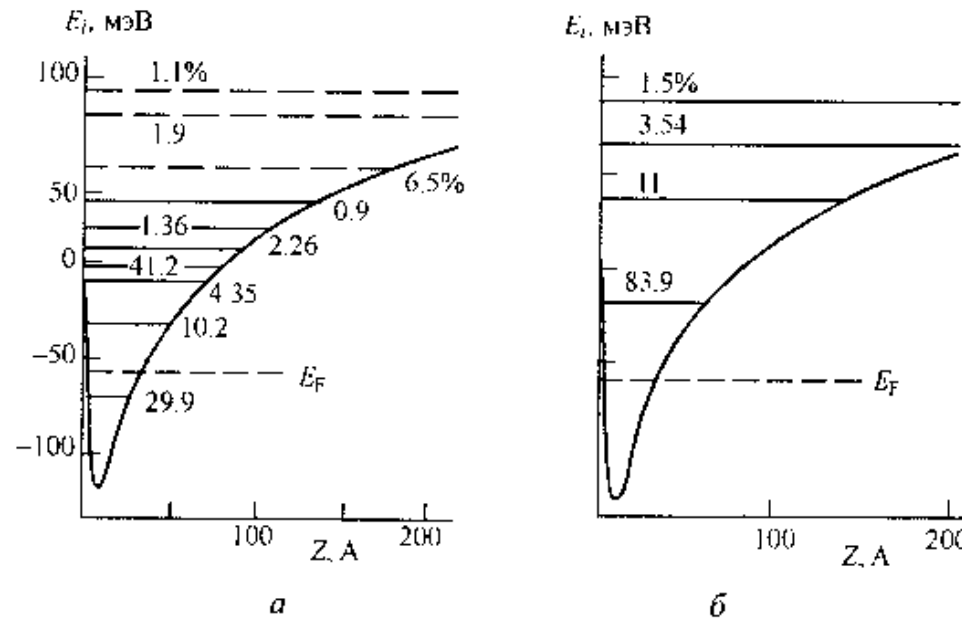


Рис. 4.17. Энергетические диаграммы ОПЗ с указанием заселенности квантовых подзон для ориентации поверхностей (111) (а) и (100) (б); штриховые линии – положения квантовых подзон для электронов с более легкой массой квантования; цифры – процентный вклад заполнения данного уровня в общую плотность заряда